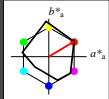


Eingabe: Farbmetrisches Reflexions-System MRS18a

für Buntton $h^* = lab^*h = 31/360 = 0.086$

LAB**LCH*, LAB**NCH*

D65: Buntton R
 LCH*Ma: 50 78 31
 olv*Ma: 1.0 0.0 0.0

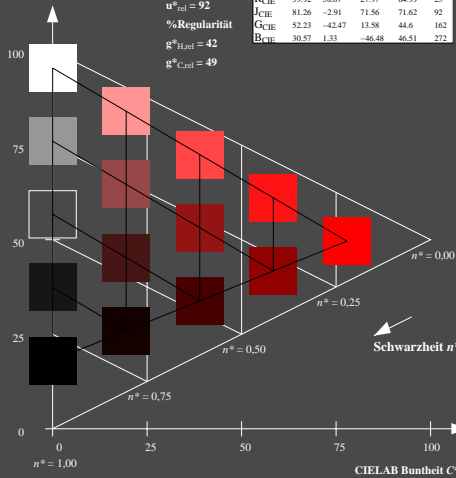


MRS18a; adaptierte CIELAB-Daten

	$L^* = L^*_a$	a^*_a	b^*_a	$C^*_{ab,a}$	$h^*_{ab,a}$
R _{Ma}	49.63	66.8	40.02	77.87	31
Y _{Ma}	90.7	-7.27	93.19	93.48	94
G _{Ma}	52.11	-69.93	11.26	70.85	171
G50B _{Ma}	45.03	-36.65	-27.13	45.61	217
B _{Ma}	36.65	23.26	-62.27	66.49	290
B50R _{Ma}	34.94	57.27	-43.6	71.99	323
N _{Ma}	18.01	0.0	0.0	0.0	0
W _{Ma}	95.41	0.0	0.0	0.0	0
R _{CIE}	39.92	58.67	27.97	64.99	25
J _{CIE}	81.26	-2.91	71.56	71.62	92
G _{CIE}	52.23	-42.47	13.58	44.6	162
B _{CIE}	30.57	1.33	-46.48	46.51	272

CIELAB-Helligkeit L^*

%Umfang
 $u^*_{rel} = 92$
 %Regularität
 $g^*_{H,rel} = 42$
 $g^*_{C,rel} = 49$

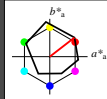


Ausgabe: Farbmetrisches Reflexions-System ORS18

für Buntton $h^* = lab^*h = 38/360 = 0.105$

LAB**LCH*, LAB**NCH*

D65: Buntton O
 LCH*Ma: 48 83 38
 olv*Ma: 1.0 0.0 0.0

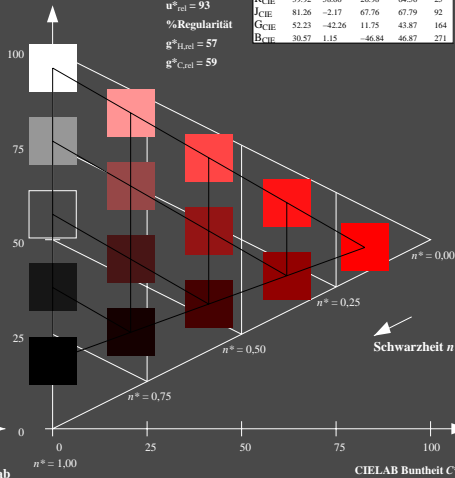


ORS18; adaptierte CIELAB-Daten

	$L^* = L^*_a$	a^*_a	b^*_a	$C^*_{ab,a}$	$h^*_{ab,a}$
O _{Ma}	47.94	65.37	50.52	82.62	38
Y _{Ma}	90.37	-10.27	91.77	92.34	96
L _{Ma}	50.9	-62.79	34.95	71.87	151
C _{Ma}	58.62	-30.35	-45.01	54.3	236
V _{Ma}	25.71	31.11	-44.42	54.24	305
M _{Ma}	48.13	75.27	-8.35	75.73	354
N _{Ma}	18.01	0.0	0.0	0.0	0
W _{Ma}	95.41	0.0	0.0	0.0	0
R _{CIE}	39.92	58.66	26.98	64.56	25
J _{CIE}	81.26	-2.17	67.76	67.79	92
G _{CIE}	52.23	-42.26	11.75	43.87	164
B _{CIE}	30.57	1.15	-46.84	46.87	271

CIELAB-Helligkeit L^*

%Umfang
 $u^*_{rel} = 93$
 %Regularität
 $g^*_{H,rel} = 57$
 $g^*_{C,rel} = 59$



TG360-7, 5-stufige Reihen für konstanten CIELAB Buntton 31/360 = 0.086 (links)

5-stufige Reihen für konstanten CIELAB Buntton 38/360 = 0.105 (rechts)

BAM-Prüfvorlage TG36; Farbmetrik-Systeme MRS18a & ORS18; Input: *olv* setrgbcolor*

D65: Koordinaten-Systeme von 5stufigen Farbreihen für 10 Buntton; Output: *olv* setrgbcolor / w* setgray*